

北大工学部 正員 大谷 守正  
 " 学生 石岡 涼子  
 " 正員 八鍬 功

## 1. はじめに

貯水池や湖沼の放熱期における水温鉛直分布を調べると、水温躍層の上にはほぼ一定の水温を示す、いわゆる表層混合層が形成されている。この様な温度成層の場に風などの外力や、放熱による熱対流が生ずると、成層間に混合が発達し、界面降下により表層混合層の厚さが増加する。

本報告は、併多楽湖における観測資料をもとに放熱期における風による外力と放熱による熱対流が表層混合層を増加させ、下層水へ及びする程度を見積り、両者を比較検討したものである。

図1は、現地観測した併多楽湖の位置及び形状である。併多楽湖は、湖面標高260.0m、最大深度147.5m、面積4.3km<sup>2</sup>、流域面積3.48km<sup>2</sup>の流入・流出河川を持たない内形のカルデラ湖である。

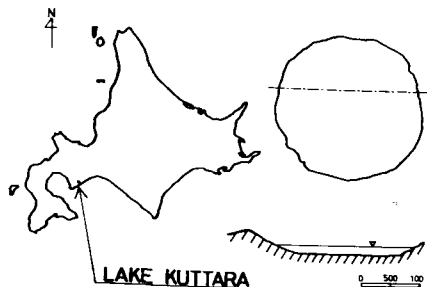


図 1

## 2. 乱れ速度スケールと連行速度

風による乱れ速度スケールは摩擦速度 $U_* = (\tau / \rho_0)^{1/2}$ とする。 $\alpha, C_F, C_P$ : 定数  $\tau$ : 定数  
 热対流による乱れ速度スケール $U_f$ は、次の乱流エネルギー収支式より得られる。 $U, w, P, S, \varepsilon$ : 變動成分

$$\frac{\partial}{\partial t} \overline{g^2} + \frac{\partial}{\partial z} \left\{ \omega \left( \frac{P}{\rho_0} + g^2 \right) \right\} = - \overline{uw} \frac{\partial U}{\partial z} - \frac{g}{\rho_0} \overline{w^2} - \varepsilon \quad (1)$$

Zeman & Tennekes<sup>11</sup>, Deardorff<sup>12</sup>等により、強い成層が作られていようとされ、(1)式の項は次のように表わせることができる。

$$\frac{g}{\rho_0} \overline{w^2} = - \alpha g (\overline{w \theta})_z \quad (2)$$

$$\frac{\partial}{\partial t} \left\{ \omega \left( \frac{P}{\rho_0} + g^2 \right) \right\}_z = - C_F \frac{\alpha^3}{h} \quad (3) \quad - C_F \frac{\alpha^3}{h} = \alpha g (\overline{w \theta})_z = \alpha g \frac{Q_n}{C_P \rho_0} \quad (4)$$

(1)式の左辺第2項と右辺第2項を等しいとおき、(4)式を用いて整理して、乱れ速度 $\alpha$ をあらためて $U_f$ として書きなおすと、

$$U_f = \left( - \frac{\alpha g D Q_n}{C_P \rho_0} \right)^{1/3} \quad (5)$$

となる。

以上のことをより、リチャードソン数は

$$R_i = \frac{g \Delta \rho D}{\rho_0 U_f^2} \quad (6)$$

となる。

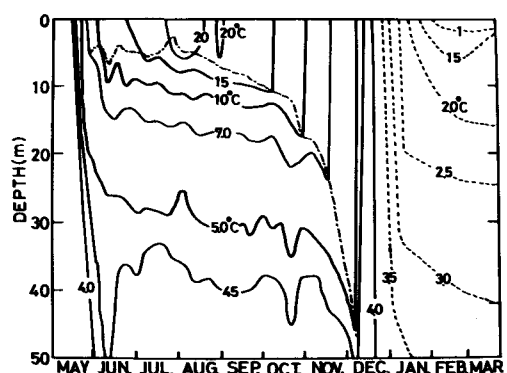


図 2

風による場合には、(6)式において  $U_f$  の代わりに  $U^*$  を用いて同様に表わされる。

### 3. 熱収支量 $Q_N$ の算定

熱収支量  $Q_N$  は次式で表わされ、数値として下記のものを用いた。

$$Q_N = S - (E + C + R) \quad (7)$$

$$S = 4.166 \times A_1 \times SI \times 10^{-2}$$

$$R = 4.879 \times (E + 273)^4 \times (0.49 - 0.076 E_1) \times (1 - C_1 d_1)$$

$$C = (3.453 + 2.074 W) \times 9 \times (T_2 - T_1)$$

$$E = 2 \times (3.453 + 2.074 W) \times 9 \times (E_2 - E_1)$$

$R$ : Brunt & Ångström の式

$C$ : Rower の式

$E$ : 蒸発熱  $R$ : 有効逆輻射  $S$ : 日射量

$S$ : 日射による輻射熱  $C$ : 水面を通しての交換熱量

$A_1$ : 反射率  $E_1$ : 水蒸気圧  $E_2$ : 鮫和蒸気圧 (水温)

$T_1$ : 気温  $T_2$ : 水温  $d_1$ : 雲の高さによる係数

$C_1$ : 雲量 ( $\times 1/10$ )  $W$ : 水の密度

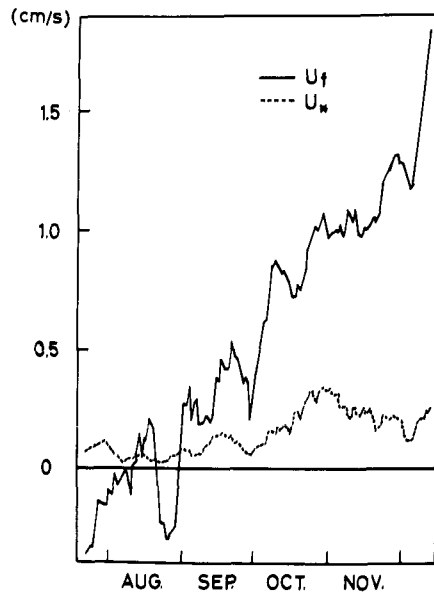


図 3

### 4. まとめ

前述の各式より、 $U_f$ 、 $U_k$ 、 $R_i$ を求め、さらに運行速度として  $U_e = dD/dt$  を求め、これに現地観測のデータを代入しグラフ化したのが、図2、3、4である。

図2は等温線の年変化を示したものであり、1点鎖線は計算した混合層の厚さを表わしており、放熱が進むにつれて、表層混合層の厚さが増していく。図3は放熱期における、風による乱れ速度  $U_f$  と熱対流による乱れ速度  $U_k$  の変化を示したものであり、冬期に向うほど熱対流による表層混合層の増加の割合が、風による効果よりも大きいに大きくなっていることがわかる。図4は縦軸に運行速度、横軸にリチャードソン数を尺度、左側の図である。図によると、風による運行速度とリチャードソン数は、Zeman & Tennekes の半理論曲線上に位置するが、熱対流による運行速度は、リチャードソン数の増加と共に減少する傾向が見られた。

### 参考文献

- 1) Zeman & Tennekes ; Parameterization of the turbulent Energy Budget at the Top of the Daytime Atmospheric Boundary Layer, J. Atmos. Sci. Vol 34, 1977
- 2) Willis & Deardorff ; A Laboratory Model of the Unstable Planetary Boundary Layer, J. Atmos. Sci. Vol 31, 1974

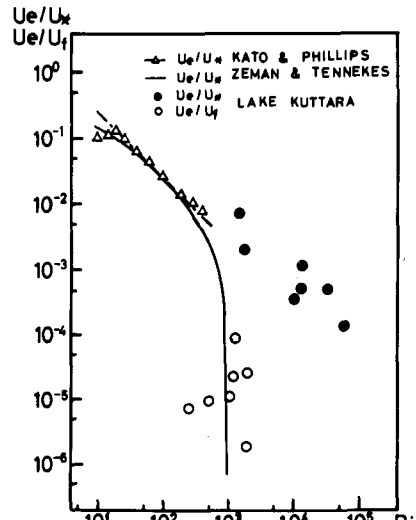


図 4